

大洋技術開発(株) 正 員 〇 栗 田 英 治
 東京大学生産技術研究所 正 員 龍 岡 文 夫
 日本大学生産工学部 学 生 員 森 平 啓 一

(1) ま え が き

鉄筋による補強した斜面の模型実験を行った。(I)では主に補強材の配置による斜面の破壊強度の特性、補強材の長さや強度との関係等について報告したが、本報告では、実験によって得られたひずみ分布を用いて補強材による地盤(砂)の拘束効果について報告する。

(2) ひずみ分布の求め方

(I)で説明したように土槽の壁にはメンブレンを貼っているが、このメンブレンにはひずみ分布を求めるための三角形分割要素があらかじめ書かれている。そして載荷中に連続的に写真撮影することによって得られた要素の変形状態を読み取り、ひずみの増分とその方向を計算する。ここでは、 $\dot{\epsilon}_1$ は最大主ひずみ増分(圧縮)、 $\dot{\epsilon}_3$ は最小主ひずみ増分(伸張)を意味し、ひずみ量は載荷前とピーク強度時の間の増分とした。

(3) 補強材による砂の拘束効果

図-1は補強材を配置していない場合の $\dot{\epsilon}_1$ と $\dot{\epsilon}_3$ の大きさとその方向を表したものである。この図から、ピーク強度の時点で既にひずみが方向性を持って明確に現れていることがわかる。図-3はZero-Extension方向(伸びも縮みも生じていない方向)とその方向のせん断ひずみ増分($\dot{\gamma}_{EE/2}$)を表している。Zero-Extension方向はすべり線の方向にほぼ一致することから、この図はピーク強度時に既にすべり領域が現れていることを示している。

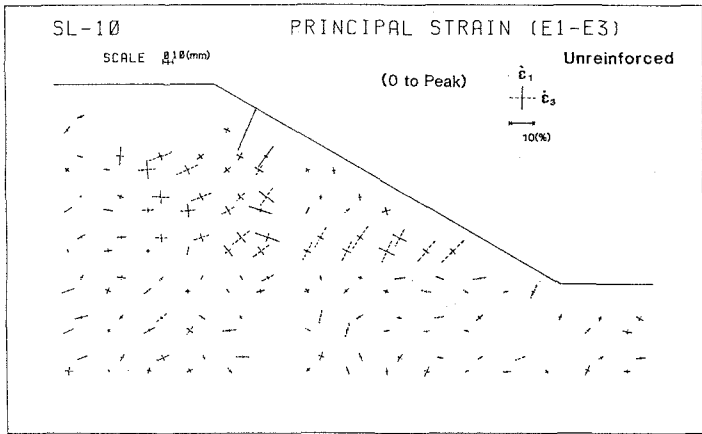


図-1 補強材がない場合の $\dot{\epsilon}_1$ と $\dot{\epsilon}_3$ の大きさとその方向

図-2、図-4は補強材を配置した場合のひずみ分布である。補強材は長さ30cm、水平方向との角度 $\theta=45^\circ$ 、本数 $n=39$ 本で図-3に現れたすべり領域以深の定着長は約15cmである。(I)で報告したように、この場合の強度(全荷重)は補強材がない場合と比較して31%増加し斜面が十分に補強されたといえるが、図-2に示すように砂のひずみもよく拘束されている。ただし、補強材の上部においてはやや

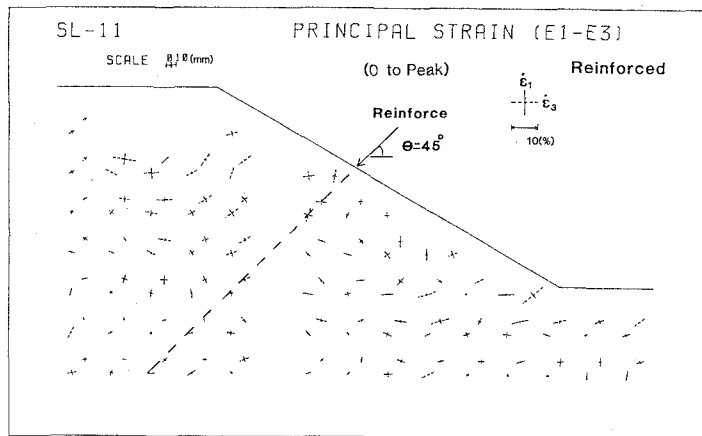


図-2 補強材を配置した場合の $\dot{\epsilon}_1$ と $\dot{\epsilon}_3$ の大きさとその方向

